

УДК 532.59.013.2:517.955.8

© 1990 г.

**В. А. БОРОВИКОВ**

**ФОРМИРОВАНИЕ КРИТИЧЕСКОГО СЛОЯ  
В СТРАТИФИЦИРОВАННОЙ СРЕДЕ СО СРЕДНИМИ ТЕЧЕНИЯМИ**

Рассматривается задача о возбуждении в стратифицированной среде со средними сдвиговыми течениями внутренних волн с заданными волновым числом  $k$  и частотой  $\omega$ . Установившееся при  $t \rightarrow \infty$  в среде без диссипации поле внутренних волн вида  $v(z) \exp(-i\omega t + ikx)$  имеет особую точку на горизонте  $z = z_0$  (критическом уровне), на котором скорость течения  $U(z)$  совпадает с фазовой скоростью  $\omega/k$ . Диссипативные эффекты (вязкость и теплопроводность) сглаживают эту особенность. В работе строится точное решение модельного уравнения, описывающего при  $t \rightarrow \infty$  и  $z \rightarrow z_0$  поле, возбуждаемое включенными при  $t = 0$  осциллирующими источниками, с учетом диссипации. Это позволило описать предельное установившееся поле, определить критический слой как окрестность критического уровня, в которой существенны эффекты диссипации, и оценить его ширину и скорость сходимости к предельному установившемуся режиму. Рассмотрена асимптотика выписанных полей при  $Ri \gg 1$ , где  $Ri$  — число Ричардсона. Показано, что при выполнении известного условия устойчивости Майлса  $Ri > 1/4$  не существует собственных колебаний с критическим уровнем.

**1. Постановка задачи.** Распространяющаяся в стратифицированной среде со средними сдвиговыми течениями внутренняя бегущая волна

$$w(t, x, z) = v(z) \exp i(kx - \omega t) \tag{1.1}$$

имеет на горизонте  $z = z_0$ , на котором фазовая скорость  $\omega/k$  совпадает со скоростью течения  $U(z)$ , особую точку — точку ветвления [1–3]. Действительно, если подставить (1.1) в уравнение внутренних волн

$$\left( \frac{\partial}{\partial t} + U \frac{\partial}{\partial x} \right)^2 (w_{xx}'' + w_{yy}'' ) - \left( \frac{\partial}{\partial t} + U \frac{\partial}{\partial x} \right) U_{zz}'' w_x' + N^2 w_{xx}'' = 0 \tag{1.2}$$

где  $w$  — вертикальная скорость,  $U = U(z)$  — скорость течения,  $N = N(z)$  — частота Брента — Вайсяля, то получим для  $v(z)$  уравнение Тейлора — Гольштейна

$$(\omega - kU)^2 v'' + \{k^2 [N^2 - (\omega - kU)^2] + kU'' (\omega - kU)\} v = 0 \tag{1.3}$$

где коэффициент при  $v''$  обращается в нуль при  $z = z_0$ .

Далее уравнения (1.2)–(1.3) будем рассматривать в слое  $-H < z < 0$  с нулевыми граничными условиями при  $z = 0$ , предполагая, что выполнено условие устойчивости Майлса

$$Ri(z) = N^2(z) [U_z'(z)]^{-2} > 1/4 \tag{1.4}$$

обеспечивающее отсутствие экспоненциально нарастающих собственных колебаний. Из принципа предельного поглощения следует [2], что решение  $v(z, \omega)$  уравнения (1.3) должно допускать аналитическое продолжение в область  $\text{Im } \omega > 0$ , что дает правило обхода особой точки  $z = z_0$  при интегрировании (1.3).

В реальных задачах не могут возникать поля с особыми точками и обращающимися в этих точках в бесконечность вертикальными градиентами. Нелинейные и диссипативные эффекты, а также нестационарность поля, т. е. его отличие от бегущей волны (1.1), вызывают «размывание» особенностей и формирование в окрестности критического уровня (т. е.

горизонта  $z=z_0$ ) переходной зоны (критического слоя), в которой вертикальные градиенты поля хотя и велики, но конечны. Основной целью настоящей работы является построение поля в этой зоне, а также оценка времени ее формирования при учете диссипации, но в линейном приближении.

Показано, что если выполнено условие (1.4), то не существует собственных колебаний с критическим уровнем (в [2] это утверждение было доказано для строго монотонной  $U(z)$ ). Этот факт имеет простую физическую интерпретацию: при  $\text{Im } \omega=0$  волновая энергия свободного колебания должна сохраняться, а при наличии критического уровня часть энергии поля внутренних волн поглощается, переходя в энергию средних течений (см., например, [1, разд. 4.1]). Поэтому критические слои могут возникать лишь для вынужденных колебаний с заданными  $\omega=\omega_0$  и  $k$ .

Следуя [3, 4], будем рассматривать поля, возбуждаемые начавшимися при  $t=0$  колебаниями дна в форме бегущей волны, т. е. решение  $w(t, x, z)$  уравнения (1.2), удовлетворяющее условиям

$$\begin{aligned} w=0 \quad (t<0); \quad w(t, x, 0)=0; \quad w(t, x, -H)= \\ =\exp i(kx-\omega_0 t), \quad t>0 \end{aligned} \quad (1.5)$$

Можно ожидать, что при  $t \rightarrow \infty$  поле  $w$  стремится к функции вида (1.1), где  $v(z)$  имеет точку ветвления на критическом уровне  $z=z_0$ .

Эта задача была рассмотрена в [3] для постоянного  $N$  и линейной  $U(z)$ . Было показано, что ее решение при  $t \rightarrow \infty$  стремится к пределу вида (1.1) равномерно по  $z$  вне переходной зоны — окрестности критического уровня, размер которой стремится к нулю при  $t \rightarrow \infty$  как  $t^{-1}$ . В [4] было найдено поле в переходной зоне, что позволило оценить размер этой зоны в зависимости от параметров задачи и найти асимптотику поля при  $\text{Ri} \gg 1$ , когда существенно поглощение энергии поля в критическом слое.

В [3, 4] рассматривалась идеальная жидкость без диссипации. Учет диссипативных эффектов приводит в окрестности критического уровня к модельному уравнению

$$\left( \frac{\partial}{\partial t} + ik\xi U' - K \frac{\partial^2}{\partial \xi^2} \right) \left( \frac{\partial}{\partial t} + ik\xi U' - \nu \frac{\partial^2}{\partial \xi^2} \right) \frac{\partial^2 w}{\partial \xi^2} - k^2 N^2 w = 0 \quad (1.6)$$

где  $N=N(z_0)$ ,  $U'=U_z'(z_0)$ ;  $K, \nu$  — коэффициенты теплопроводности и вязкости. Установившееся при  $t \rightarrow \infty$  решение этого уравнения, переходящее при  $K, \nu \rightarrow 0$  (или  $|\xi| \rightarrow \infty$ ) в известное [3, 4] решение без диссипации, отыскивалось в [5, 8] численно для нескольких значений  $p=\nu/K$  и  $\text{Ri}$  ( $1 < p < 7$ ;  $0,2501 \leq \text{Ri} \leq 4$ ). Ниже будет найдено точное аналитическое решение (1.6). Это позволит оценить скорость сходимости поля к предельному при  $t \rightarrow \infty$ , определить размеры критического слоя (т. е. окрестности критического уровня, в которой существенны эффекты диссипации), а также найти асимптотику как установившегося поля, так и переходного режима при  $\text{Ri} \gg 1$ , когда возникают существенно новые качественные эффекты. В частности, будет показано, что в типичных для шельфа условиях формирование критического слоя требует нереально большого числа чисто гармонических колебаний.

Критические слои могут также возникать при наличии подветренных волн. Рассмотрим поток жидкости, набегающей на какое-либо препятствие, например на уступ или локальное возвышение. За этим препятствием может возникнуть уходящая от него волна и если набегающая жидкость стратифицирована, то эта волна может возбуждать внутренние волны.

Соответствующая граничная задача для уравнения (1.2) имеет вид

$$\begin{aligned} w(t, x, 0) = 0; \quad w(t, x, -H) = 0, \quad x < 0 \\ w(t, x, -H) = \exp i(k_0 x - \omega_0 t), \quad x > 0 \end{aligned} \quad (1.7)$$

Отыскивается решение, гармонически зависящее от времени и удовлетворяющее условию излучения [7]. Здесь критический слой формируется при удалении от препятствия, т. е. при  $x \rightarrow \infty$ . В этой задаче также будут учтены диссипативные эффекты и оценена скорость сходимости к пределу при  $x \rightarrow \infty$ .

Однако постановка граничной задачи (1.2), (1.7) не всегда корректна. Пусть колебания границы (1.7) включаются при  $t=0$ . Тогда волновое поле стремится при  $t \rightarrow \infty$  к гармонически зависящему от  $t$  решению задачи (1.2), (1.7), лишь если выполнено дополнительное условие (назовем его условием A): требуется, чтобы не существовало собственной волны, которая при заданном  $\omega = \omega_0$  имеет равную нулю групповую скорость. Будет показано, что если это условие не выполнено, то поле, возбуждаемое включенными при  $t=0$  колебаниями границы, содержит компоненту, растущую при  $t \rightarrow \infty$  как  $\sqrt{t}$ .

2. Решение задачи (1.2), (1.5) и его асимптотика при  $t \rightarrow \infty$ . Будем искать решение  $w(t, x, z)$  уравнения (1.2) с граничными и начальными условиями (1.5) в форме  $w = u(t, z) \exp ikx$ . Тогда для  $u(t, z)$  получим краевую задачу ( $U = U(z)$ ;  $N = N(z)$ )

$$\left(\frac{\partial}{\partial t} + ikU\right)^2 [-k^2 u + u_{zz}] - ik \left(\frac{\partial}{\partial t} + ikU\right) U'' u - k^2 N^2 u = 0 \quad (2.1)$$

$$u \equiv 0 \quad (t < 0); \quad u(t, 0) = 0; \quad u(t, -H) = \exp(-i\omega_0 t), \quad t > 0$$

Прямая выкладка показывает, что решение этой задачи имеет при  $t > 0$  вид

$$u(t, z) = \frac{1}{2\pi i} \int_{|\omega|=R} \frac{\exp(-i\omega t) v(\omega, z) d\omega}{(\omega - \omega_0) v(\omega, -H)} \quad (2.2)$$

где окружность  $|\omega| = R$  охватывает все нули знаменателя. Здесь  $v(\omega, z)$  — решение уравнения (1.3), удовлетворяющее граничным условиям  $v(\omega, 0) = 0$ ;  $v_z'(\omega, 0) = 1$ . Эта функция — аналитическая функция  $\omega$  с разрезом на интервале  $I_k: (k \min U, k \max U)$ . Все нули  $\omega_n$  функции  $v(\omega, -H)$

(т. е. собственные числа спектральной задачи (1.3) с нулевыми граничными условиями) просты, находятся на вещественной оси вне  $I_k$  и образуют две бесконечные серии, стремящиеся к концам  $I_k$  (см. [9]).

Представим интеграл (2.2) в виде суммы вычетов в нулях  $\omega_n$  функции  $v(\omega, -H)$  и интеграла по охватывающему  $I_k$  контуру  $L$

$$u(t, z) = \sum_n \frac{\varphi_n(z) \exp(-i\omega_n t)}{d_n (\omega_n - \omega_0)} + u^*(t, z)$$

$$u^*(t, z) = \frac{1}{2\pi i} \int_L \exp(-i\omega t) \xi(\omega, z) \frac{d\omega}{\omega - \omega_0}; \quad \xi(\omega, z) = \frac{v(\omega, z)}{v(\omega, -H)} \quad (2.3)$$

Каждое слагаемое суммы в (2.3) — это собственная функция  $\varphi_n = v(\omega_n, z)$ , осциллирующая со своей частотой  $\omega_n$  и амплитудой, пропорциональной резонансному множителю  $(\omega_n - \omega_0)^{-1}$ ;  $d_n = \partial v(\omega_n, -H) / \partial \omega$ . Решение (2.3) — сумма таких собственных колебаний и интеграла  $u^*$  по непрерывному спектру  $I_k$ . Поэтому задача сводится к вычислению асимптотики этого интеграла при  $t \rightarrow \infty$ .

Функция  $\xi(\omega, z)$  в интеграле (2.3) — решение уравнения (1.3), аналитическое по  $\omega$  в верхней полуплоскости  $\text{Im } \omega > 0$  и имеющее [2], как функция  $\omega$  при фиксированном  $z$ , точку ветвления при  $\omega = \omega_1 = kU(z)$

$$\xi \sim A_+ (\omega - \omega_1)^{\mu_+ + i\mu} + A_- (\omega - \omega_1)^{\mu_- - i\mu}, \quad \mu = \sqrt{Ri - 1/k}$$

Если  $z \neq z_0$ , то  $\omega_1 \neq \omega_0$ . Переводя интегрирование на контур  $L_1$ , обходящий снизу полюс  $\omega = \omega_0$ , и оценивая интеграл по  $L_1$  при  $t \rightarrow \infty$ , получим

$$u^*(t, z) = e^{-i\omega_0 t} \xi(\omega_0, z) + \delta(t); \quad \delta(t) = O(t^{-\mu}) \quad (2.4)$$

При  $t \rightarrow \infty$  функция  $u(t, z)$  стремится к сумме собственных колебаний и вынужденного колебания  $\exp(-i\omega_0 t) \xi(\omega_0, z)$ .

Асимптотика (2.4) неравномерна; она неприменима, когда  $z$  стремится к  $z_0$ , т. е. точка ветвления  $\omega_1$  стремится к полюсу  $\omega_0$ . Модельным интегралом в этой ситуации является выражение, полученное из (2.3) заменой  $\xi(\omega, z)$  на  $(\omega - \omega_1)^{1/2 \pm i\mu}$ , а контура интегрирования — на вещественную ось

$$I(t, \omega_1, \omega_0) = \frac{-1}{2\pi i} \int_{-\infty}^{\infty} e^{-i\omega t} (\omega - \omega_1)^\lambda \frac{d\omega}{\omega - \omega_0}; \quad \lambda = \frac{1}{2} \pm i\mu$$

где особые точки обходятся в верхней полуплоскости. Интеграл  $I$  выражается через неполную гамма-функцию  $\Phi(t, \omega_1 - \omega_0, \lambda)$ , для которой можно выписать два эквивалентных выражения:

$$\Phi(t, \xi, \lambda) = -\frac{e^{-\pi i \lambda / 2}}{\Gamma(-\lambda)} \int_t^{\infty} e^{-i\tau \xi} \tau^{-\lambda-1} d\tau + \begin{cases} |\xi|^\lambda, & \xi > 0 \\ e^{-\pi i \lambda} |\xi|^\lambda, & \xi < 0 \end{cases} \quad (2.5)$$

$$\Phi(t, \xi, \lambda) = \frac{e^{-\pi i \lambda / 2}}{\Gamma(-\lambda)} \int_0^t e^{-i\tau \xi} \tau^{-\lambda-1} d\tau \quad (2.6)$$

Поскольку  $\omega_1(z) - \omega_0 = k[U(z) - U(z_0)] \sim kU'_z(z - z_0)$ , то равномерная асимптотика  $u^*$ , при  $t \rightarrow \infty$  и малых  $z - z_0$  выражается через  $\Phi(t, kU'(z - z_0), \lambda)$ . Приведем соответствующие формулы. Пусть сперва  $kU' > 0$ . Тогда установившееся решение  $\exp(-i\omega_0 t) \xi(z)$  аналитично в нижней полуплоскости  $\text{Im } z < 0$  и его главную часть при  $z \sim z_0$  можно записать в виде [2]

$$\begin{aligned} \xi &\approx A_+ \xi_+(z - z_0) + A_- \xi_-(z - z_0) \\ \eta > 0: \quad \xi_+(\eta) &= \eta^{1/2 - i\mu}; \quad \xi_-(\eta) = ie^{-\pi\mu} \eta^{1/2 + i\mu} \\ \eta < 0: \quad \xi_+(\eta) &= -ie^{-\pi\mu} |\eta|^{1/2 - i\mu}; \quad \xi_-(\eta) = |\eta|^{1/2 + i\mu} \end{aligned} \quad (2.7)$$

Функция  $\xi_+$  представляет собой волну, падающую на критический слой сверху, со стороны  $\eta > 0$ ;  $\xi_-$  — волну, падающую снизу. Каждая из этих волн, проходя через критическое сечение, убывает по амплитуде в  $\exp(\pi\mu)$  раз, отдавая часть энергии средним течениям.

Предельному решению (2.7) соответствует поле

$$\begin{aligned} u^* &= \exp(-i\omega_0 t) v^* \\ v^*(t, z) &= (kU')^{-1/2 + i\mu} A_+ \Phi(t, kU'(z - z_0), \\ &1/2 - i\mu) + (kU')^{-1/2 - i\mu} A_- \Phi(t, kU'(z - z_0), \quad 1/2 + i\mu) \end{aligned} \quad (2.8)$$

Как видно из (2.5), при  $t \rightarrow \infty$  это поле переходит в  $\xi(z) \exp(-i\omega_0 t)$ . Формула (2.8) была получена в [4]; данный вывод проще, чем в [4], и не предполагает, что  $\text{Ri} \gg 1$ .

Оценим характер сходимости функции  $\Phi$  к пределу  $\xi_+$ . Для этого следует оценить интеграл в (2.5). Здесь надо рассмотреть два случая.

При  $\text{Ri} \sim 1$ , т. е.  $\mu \sim 1$ , интеграл в (2.5) оценивается интегрированием по частям и для отношения  $\delta$  первого члена в (2.5) ко второму имеем.

$$\delta \leq A \frac{\sqrt{\text{Ri}}}{\sqrt{\pi} |t\xi|^{1/2}} \left( 1 + O\left(\frac{\mu}{|\xi|}\right) \right) \quad (2.9)$$

где  $A = 1$  при  $\xi > 0$  и  $A = \exp(\pi\mu)$  при  $\xi < 0$ .

В случае  $\mu \gg 1$  (см. [4]) падающая волна, проходя через критический уровень, экспоненциально затухает. Под знаком интеграла в (2.6) оказывается быстро осцилирующая функция и асимптотика  $\Phi$  при  $\mu \gg 1$  зависит от того, попадает ли стационарная точка  $\tau = \xi/\mu$  этой функции в область интегрирования. Полагая для простоты в (2.7)  $A_+ = 1, A_- = 0$ , получаем асимптотику

$$v^* \approx \eta^\lambda \chi + \frac{\exp(-\pi i/4 + i\mu) \mu^{-i\mu} (kU't)^{-\lambda} \exp(-ikU't\eta)}{\sqrt{2\pi} (1 - kU't\eta/\mu)}$$

где  $\chi = 1$  при  $kU't\eta > \mu$  и  $\chi = 0$  при  $kU't\eta < \mu$ . В окрестности значения  $t = \mu/(kU'\eta)^{-1}$  поперечником  $\sqrt{\mu}$  эта асимптотика неприменима и  $v^*$  выражается через интеграл Френеля.

Из выписанной асимптотики видно, что  $v^*$  при  $kU't\eta < \mu$  относительно мала и убывает с ростом  $t$  как  $t^{-1/2}$ . В окрестности значения  $t = \mu/(kU'\eta)$  поперечником порядка  $\sqrt{\mu}$  эта функция быстро возрастает до значения, близкого к  $\eta^{1/2 - i\mu}$ , и далее приближается к этому предельному значению, имея погрешность порядка  $t^{-1/2}$ . Можно сказать, что  $v^*$  имеет приближающийся к критическому уровню фронт  $\eta = \mu/(kU't)$ .

При  $\eta < 0$  предельное значение  $i|\eta|^\lambda \exp(-\pi\mu)$  функции  $v^*$  экспоненциально мало по  $\mu$ , а поправка к нему убывает при  $t \rightarrow \infty$  как  $\mu t^{-3/2}$ . Чтобы поле стало относительно близко к предельному значению, здесь требуется экспоненциально большое время порядка  $2 \exp \pi\mu/3$ .

Случай  $kU' < 0$  приводится к рассмотренному случаю  $kU' > 0$  заменой  $\eta$  на  $-\eta$ .

**3. Учет вязкости и теплопроводности.** При увеличении  $t$  вертикальные градиенты поля растут и становится существенной диссипация. Чтобы ее учесть, выпишем точное решение соответствующего модельного уравнения.

Исходная система уравнений (см. [8, формулы (1)–(4)]) стандартным образом приводится к одному уравнению для вертикальной скорости. Полагая  $w = \exp(ikx - i\omega_0 t) v(t, z)$  и отбрасывая в уравнении для  $v$  члены, относительно малые при больших  $t$  и малых  $z - z_0$ , приходим к уравнению (1.6), отличающемуся от аналогичных уравнений в [5, 8], описывающих стационарное поле, наличием слагаемых  $\partial/\partial t$ .

Функция  $(kU')^\lambda \Phi(t, kU'(z - z_0), \lambda)$  — точное решение этого уравнения при  $K = \nu = 0$ , стремящееся при  $t \rightarrow \infty$  к  $(z - z_0)^\lambda$ . Поэтому будем искать решение уравнения (1.6), переходящее в эту функцию при  $K, \nu \rightarrow 0$ .

В безразмерных переменных [10]  $\xi$  и  $\theta$  уравнение (1.6) примет вид

$$z - z_0 = Z_\nu \xi; \quad Z_\nu = (\nu/kU')^{1/2}; \quad \theta = kU' Z_\nu t$$

$$\left[ -i \frac{\partial}{\partial \theta} + \xi + iq \frac{\partial^2}{\partial \xi^2} \right] \left[ -i \frac{\partial}{\partial \theta} + \xi + \frac{\partial^2}{\partial \xi^2} \right] \frac{\partial^2 v}{\partial \xi^2} + \text{Ri} \cdot v = 0 \quad (1.3)$$

$$q = K/\nu; \quad \text{Ri} = N^2(U')^{-2}$$

Прямая выкладка показывает, что искомое решение имеет вид

$$v(\theta, \xi) = \frac{Z_\nu^\lambda e^{-\pi i \lambda/2}}{\Gamma(-\lambda)} \int_0^\theta e^{-i\tau\xi} \tau^{-\lambda-1} e^{-1/2 q \tau^3} M\left(1 - \frac{\lambda}{3}, \frac{4-2\lambda}{3}, \frac{\tau^3(q-1)}{3}\right) d\tau \quad (3.2)$$

где  $M(a, b, \xi)$  — вырожденная гипергеометрическая функция. Установившееся при  $t \rightarrow \infty$  поле, для которого в [5, 8] отыскивалось численное решение, это предел  $v(\xi)$  интеграла (3.2) при  $\theta \rightarrow \infty$ .

Вычисляя асимптотику  $v(\xi)$  при  $|\xi| \rightarrow \infty$ , получим

$$v(\xi) = Z_\nu^\lambda \xi^\lambda (1 + ih\xi^{-3} + O(\xi^{-6})), \quad \xi > 0 \quad (3.3)$$

$$v(\xi) = Z_\nu^\lambda |\xi|^\lambda e^{-\pi i \lambda} (1 + ih|\xi|^{-3} + O(|\xi|^{-6})), \quad \xi < 0$$

$$h = 1/6 \lambda (\lambda - 1) [(\lambda - 3) + q(\lambda - 1)]$$

Из этих оценок видно, что при  $|\zeta| \rightarrow \infty$  роль диссипации исчезает и  $v(\zeta)$  стремится к  $\xi_+(z-z_0)$ . Переходную зону (критический слой) можно определить как окрестность критического уровня, в которой нельзя отбросить второй член в (3.3), например условием  $|\zeta| < 2|h|^{1/2} < 2\mu+1$ , т. е.

$$|z-z_0| < (2\mu+1)Z_v \quad (3.4)$$

В окрестности значения  $\zeta=0$  функция  $v(\zeta)$  является при  $q \neq 0$ , т. е. при  $K \neq 0$ , аналитической функцией  $\zeta$ . Если  $q=0$ , то  $v(\zeta)$  имеет при  $\zeta=0$  логарифмическую особенность:  $v(\zeta) = F_1(\zeta) + \zeta^3 \ln |\zeta| F_2(\zeta)$ , где  $F_1(\zeta)$  и  $F_2(\zeta)$  — аналитические функции  $\zeta$ .

Укажем асимптотику  $v(\zeta)$  при  $\mu \gg 1$ . Если  $|\zeta| \gg \mu^{2/3}$  (практически достаточно полагать  $|\zeta| \gg 5\mu^{2/3}$ ), то

$$\begin{aligned} v(\zeta) &\approx Z_v^\lambda \zeta^\lambda \exp\left(-\frac{(q+1)\mu^3}{6\zeta^3}\right), & \zeta > 0 \\ v(\zeta) &\approx iZ_v^\lambda |\zeta|^\lambda \exp\left(\frac{(q+1)\mu^3}{6|\zeta|^3}\right), & \zeta < 0 \end{aligned} \quad (3.5)$$

При  $|\zeta| > 2\mu$  экспоненту в (3.5) можно отбросить.

Диссипация приводит в интервале  $5\mu^{2/3} < |\zeta| < 2\mu$  к появлению дополнительного экспоненциального множителя, меньшего единицы при  $\zeta > 0$  и большего единицы при  $\zeta < 0$ . Этот множитель описывает обусловленный вязкостью и теплопроводностью дополнительный перенос энергии из области  $z > z_0$ , откуда пришла первичная волна, в область  $z < z_0$ .

Вертикальной скорости (3.5) соответствует горизонтальная скорость

$$\begin{aligned} u(\zeta) &= \frac{i\lambda}{k} Z_v^{\lambda-1} \zeta^{\lambda-1} \exp\left(-\frac{(q+1)\mu^3}{6\zeta^3}\right), & \zeta > 0 \\ u(\zeta) &= \frac{-i\lambda}{k} Z_v^{\lambda-1} |\zeta|^{\lambda-1} e^{-\pi i \lambda} \exp\left(\frac{(q+1)\mu^3}{6|\zeta|^3}\right), & \zeta < 0 \end{aligned} \quad (3.6)$$

Функция  $|u(\zeta)|$  принимает максимальное значение

$$|u|_{\max} = e^{-1/6} \frac{|\lambda|}{k} |Z_v \mu|^{-1/2} (q+1)^{-1/6} \quad (\zeta = \mu(q+1)^{1/2})$$

При отсутствии диссипации  $u(\zeta)$  стремится к бесконечности при  $\zeta \rightarrow 0$  как  $|\zeta|^{-1/2}$ .

При  $\zeta < 5\mu^{2/3}$  функции  $v(\zeta)$ ,  $u(\zeta)$  экспоненциально малы. В частности, при  $\zeta=0$

$$|v(0)| \approx \mu^{1/2} \sqrt{Z_v/3q} e^{-\pi\mu/6}; \quad |u(0)| \approx \frac{\mu^{3/2}}{k\sqrt{3Z_v}} q^{1/12} e^{-\pi\mu/6}, \quad q \neq 0 \quad (3.7)$$

$$|v(0)| \approx \mu^{-1/6} \sqrt{\frac{Z_v}{\pi}} e^{-\pi\mu/6}; \quad |u(0)| \approx \frac{\Gamma(2/3)}{k3^{1/2}} \left[\frac{\mu}{\pi Z_v}\right]^{1/2} e^{-\pi\mu/6}, \quad q=0$$

Положим  $\zeta = c\mu^{2/3}$ . Тогда при  $0 < c < 5$

$$\begin{aligned} |v(\zeta)| &\approx \mu^{1/2} A_v(c, q) e^{-\mu B(c, q)}; & |u(\zeta)| &\approx \\ &\approx \mu^{3/2} A_u(c, q) e^{-\mu B(c, q)} \end{aligned} \quad (3.8)$$

где вычисление функций  $A_v$ ,  $A_u$ ,  $B$  сводится к решению трансцендентных уравнений. При  $c \rightarrow \infty$  формула (3.8) переходит в (3.5), (3.6), т. е.  $B \rightarrow (q+1)/6c^3$ ;  $A_v \rightarrow (cZ_v)^{1/2}$ ,  $A_u \rightarrow (k\sqrt{cZ_v})^{-1}$ . При  $q=1$  функции  $A_v$ ,  $A_u$ ,  $B$  можно приближенно описать выражениями

$$\begin{aligned} B &\approx [3c^3 - 1, 3c^2 + 2, 5c + 6/\pi]^{-1} \\ A_v &\approx (c^2 + 9)^{1/2} \sqrt{Z_v}; & A_u &\approx (c^2 - 3c + 9)^{-1/2} (k\sqrt{Z_v})^{-1} \end{aligned} \quad (3.9)$$

4. **Оценки переходного процесса.** Оценим время  $\theta$ , необходимое для того, чтобы поле  $v(\theta, \zeta)$  было близко к своему стационарному пределу  $v(\zeta)$ . Очевидно

$$\delta v = v(\zeta) - v(\theta, \zeta) = \frac{Z_\nu^\lambda e^{-\pi i \lambda / 2}}{\Gamma(-\lambda)} \int_0^\infty e^{-i\tau \zeta - q\tau^{1/3}} \tau^{-\lambda-1} \times \\ \times M\left(1 - \frac{\lambda}{3}, \frac{4-2\lambda}{3}, \frac{\tau^3(q-1)}{3}\right) d\tau \quad (4.1)$$

Пусть сперва  $\mu \sim 1$ ,  $q=0$ . Заменяя в (4.1) функцию  $M$  ее асимптотикой при  $\tau^3/3 \gg 1$ , получим

$$|\delta v| \leq CZ_\nu^\lambda \theta^{-3} |3 + i\theta \zeta|^{-1} \quad (4.2)$$

где  $C=O(1)$ . Отсюда  $\delta = |\delta v/v| < C\theta^{-3}$ . При  $\zeta \geq 2\mu + 1$  из (4.1) следует более сильная оценка:  $\delta < C\zeta^{-1/2}\theta^{-1}$ . Из этих оценок видно, что для установления стационарного режима с достаточной точностью требуется время порядка  $\theta \sim 2$ , т. е.

$$t \sim 2[(kU')^2 \nu]^{-1/3} \quad (4.3)$$

С ростом  $t$  погрешность  $\delta$  быстро убывает.

Оценим время  $t$ , необходимое для установления стационарного поля в типичных для шельфа условиях. Положим  $k=0,02$  (т. е. длина внутренней волны  $\lambda=314$  м), глубину шельфа примем  $H=100$  м;  $U(-H)=0$ ;  $U(0)=1$  м/с, откуда  $U_z'=10^{-2}$  с $^{-1}$ , возьмем кинематическую вязкость  $\nu=10$  м $^2$ /с. Тогда из (4.3) получаем, что для выхода на стационарный режим требуется нереально большое время  $t \sim 16$  ч чисто гармонических колебаний.

Сравнивая (4.2) с (2.9), видим, что диссипация, которая при  $\zeta \geq 2\mu + 1$  не сказывается на предельных значениях поля, существенно ускоряет сходимость к предельным значениям. Этот эффект оказывается более сильным при  $q \neq 0$ , т. е. при наличии теплопроводности, когда интеграл (4.1) экспоненциально убывает с ростом  $\theta$ .

Например, при  $q=1$  справедлива оценка

$$|\delta v| \leq \frac{\theta^{-1/2} \exp(-1/3\theta^3)}{|i\theta \zeta + \lambda + \theta|^3} \quad (4.4)$$

Для достижения удовлетворительной относительной погрешности здесь достаточно время  $\theta \sim 1$ . Для взятых из [8] типичных для атмосферы условий ( $k=4 \cdot 10^{-4}$  м $^{-1}$ ,  $U_z'=0,024$  с $^{-1}$ ,  $\gamma=6,5$  м $^2$ /с) времени  $\theta \sim 1$  соответствует  $t \sim 20$  мин.

Рассмотрим теперь случай  $\mu \gg 1$ . Положим  $c = \tau^3(1-q)/2\mu$ . Тогда функция  $M$  из (3.2) имеет асимптотику

$$M \approx Q(1 + \sqrt{1-c^2})^{-i\mu/3} (1-c^2)^{-1/6} \exp^{1/3}(i\mu\sqrt{1-c^2} - \\ - i \arctg(\sqrt{1-c^2})/c - c\mu), \quad c < 1 \quad (4.5)$$

$$M \approx Q(c + \sqrt{c^2-1})^{-1/6} (c^2-1)^{-1/6} \exp(-1/3\mu(\arctg \sqrt{c^2-1} + \\ + c - \sqrt{c^2-1}) + 1/6\pi i), \quad c > 1 \\ Q = 2^{2\mu/3} \exp(1/6i(\pi - 2\mu))$$

Эта асимптотика неприменима в окрестности значения  $c=1$ , где  $M$  выражается через функцию Эйри.

Используя это выражение, получаем при  $\theta^3(1-q) < 2\mu$  оценку

$$|\delta v| \leq 2\mu^{1/2} \sqrt{Z_\nu} \theta^{-1/2} \exp(-1/6\theta^3(q+1)) \quad (4.6)$$

При  $\theta \sim \mu^{1/3}$  это выражение экспоненциально мало. При дальнейшем росте  $\theta$ , т. е. при  $c = \theta^3(1-q)/2\mu > 1$

$$|\delta v| \leq 2\mu^{1/2} \sqrt{Z_0} \theta^{-7/2} c^{-5/2} \exp[-1/3(q\theta^3 + \mu f(c))] \\ f(c) = \arctg \sqrt{c^2 - 1} + c - \sqrt{c^2 - 1} \quad (4.7)$$

Из этих оценок видно, что за время формирования критического слоя при  $\mu \gg 1$  можно принять величину  $\theta \sim \mu^{1/3}$ . При ограниченных  $\mu$  требуется, как было показано выше, время  $\theta \sim 2$ . Поэтому величину  $\theta \sim 2(\mu^2 + 1)^{1/2} \sim 2(Ri + 1)^{1/2}$  можно принять за оценку времени формирования критического слоя, применимую при любых числах  $Ri$ . Этому значению  $\theta$  соответствует

$$t \sim 2(kU')^{-2/3} \nu^{-1/3} (Ri + 1)^{1/6} \quad (4.8)$$

**5. Задача о подветренных волнах.** Рассмотрим гармонически зависящее от времени решение  $w(t, x, z)$  уравнения (1.2) с граничным условием (1.7). Здесь критический слой формируется при  $x \rightarrow \infty$ . Единственность решения обеспечивается условием излучения [7], согласно которому полагают  $\omega_0 = \omega_r + i\omega_i$ , а затем переходят к пределу при  $\omega_i \rightarrow +0$ . Построим решение этой задачи и найдем его асимптотику при  $x \rightarrow \infty$  и  $z \sim z_0$ . Затем проведем учет вязкости и теплопроводности. Это позволит оценить дистанцию  $x$ , необходимую для формирования критического слоя.

Будем предполагать выполненным условие *A*: необходимо, чтобы значение  $\omega = \omega_0$  не было стационарным ни для одной из дисперсионных кривых  $\omega = \omega_n(k)$ . Роль этого условия анализируется в разд. 6, в котором рассматривается задача на установление: колебания границы (1.7) включаются при  $t=0$  и отыскивается предел поля при  $t \rightarrow \infty$ . Будет показано, что если условие *A* выполнено, то предел существует и совпадает с удовлетворяющим условию излучения решением задачи (1.2), (1.7). В противном случае поле при  $t \rightarrow \infty$  растет, и будет найдена его растущая компонента.

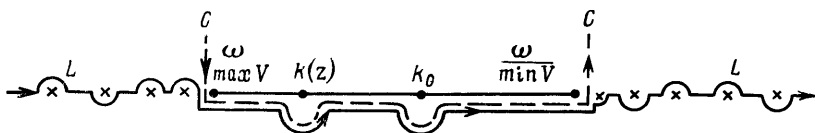
Для простоты изложения будем полагать, что  $U(z) > 0$  при всех  $z$ .

Прямая выкладка показывает, что удовлетворяющее условию излучения и граничным условиям (1.7) решение уравнения (1.2) имеет вид

$$w = - \frac{\exp(-i\omega_0 t)}{2\pi i} \lim_{\varepsilon \rightarrow 0} \int_{-\infty}^{\infty} \frac{v(k, \omega_0 + i\varepsilon, z)}{v(k, \omega_0 + i\varepsilon, -H)} e^{ikh} \frac{dk}{k - k_0} \quad (5.1)$$

где полюс  $k = k_0$  обходится в нижней полуплоскости, а  $v(k, \omega, z)$  — решение уравнения (1.4), обращающееся в нуль при  $z=0$ .

Вещественные нули  $k_n(\omega_0)$  функции  $v(k, \omega_0, -H)$  сдвигаются при замене  $\omega_0$  на  $\omega_0 + i\varepsilon$  в верхнюю или нижнюю полуплоскость  $k$  в зависимости от знака  $\partial k / \partial \omega$ , т. е. от знака групповой скорости  $\partial \omega / \partial k$  соответствующей моды. Это дает правило обхода нулей знаменателя в (5.1) (контур  $L$  на фигуре).



Найдем асимптотику этого интеграла при  $x \rightarrow -\infty$ . Сдвинем контур интегрирования в нижнюю полуплоскость. При этом придется пересечь те из нулей  $k_n(\omega_0)$  функции  $v(k, \omega_0, -H)$ , которым соответствует отрицательная групповая скорость. В результате получим

$$w \approx e^{-i\omega_0 t} \sum_n' c_n e^{ikh} v(k_n, \omega_0, z)$$



где  $k_n = k_n(\omega_0)$  и  $v(k_n, \omega_0, z)$  — собственные числа и собственные функции граничной задачи (1.4) с нулевыми граничными условиями, а суммирование проводится по тем  $n$ , для которых групповая скорость отрицательна ( $c_n$  — константы). Иными словами, при  $x \rightarrow -\infty$  решение задачи (1.2), (1.7) — это сумма мод, уносящих энергию в отрицательном направлении.

Чтобы найти асимптотику  $w(t, x, z)$  при  $x \rightarrow \infty$ , перейдем в (5.1) к интегрированию по контуру  $C$ , показанному пунктиром на фигуре

$$u(t, x, z) = \exp(-i\omega_0 t) \sum_n'' c_n e^{ik_n x} v(k_n, \omega_0, z) + \\ - \frac{1}{2\pi i} e^{-i\omega_0 t} \int_C \frac{v(k, \omega_0 + i0, z)}{v(k, \omega_0 + i0, -H)} e^{ikx} \frac{dk}{k - k_0} \quad (5.2)$$

где суммирование проводится по собственным функциям с положительной групповой скоростью.

Вычисление асимптотики интеграла в (5.2) при  $x \rightarrow \infty$  вполне аналогично вычислению асимптотики интеграла в (2.3) при  $t \rightarrow \infty$ . Пусть  $z = z_0$  — критический уровень, т. е. пусть  $\omega_0 = k_0 U(z_0)$ . При фиксированном  $z \neq z_0$  и  $x \rightarrow \infty$  решение граничной задачи (1.7) представляет собой сумму собственных колебаний частоты  $\omega_0$ , имеющих положительную групповую скорость (т. е. уносящих энергию в положительном направлении), и вынужденного колебания

$$u = \sum_n'' e^{-i\omega_0 t + ik_n x} c_n v(k_n, \omega_0, z) + e^{-i\omega_0 t + ik_0 x} \frac{v(k_0, \omega_0 + i0, z)}{v(k_0, \omega_0 + i0, -H)} \quad (5.3)$$

При  $z \approx z_0$  эта асимптотика непригодна. Равномерная асимптотика, применимая при  $z \approx z_0$ , вычисляется аналогично асимптотике, найденной в разд. 2. Ее главный член выражается через определенную по (2.5) неполную гамма-функцию  $\Phi(x, k - k_1, \lambda)$

$$\lambda = \frac{1}{2} \pm i\mu; \quad \mu = \sqrt{\text{Ri} - \frac{1}{4}}; \quad k_0 - k_1 = k(z_0) - k(z_1) = \\ = \frac{\omega_0}{U(z_0)} - \frac{\omega_0}{U(z)} \approx \frac{kU'(z_0)(z - z_0)}{U(z_0)}$$

Чтобы учесть влияние вязкости и теплопроводности, приведем систему из [8, формулы (1)–(4)] к одному уравнению для вертикальной скорости  $w$ . Полагая  $w = \exp(-i\omega_0 t + ik_0 x) (v)(x, t)$ , отбрасывая в уравнении для  $v(x, z)$  члены, малые при  $x \rightarrow \infty$  и  $z \sim z_0$ , и введя безразмерные вертикальную длину  $\xi$  и горизонтальную дистанцию  $\theta$

$$z - z_0 = Z_v \xi; \quad Z_v = (\nu/kU')^{1/2}; \quad \theta = kU' Z_v x / U$$

получим для  $v(\theta, \xi)$  уравнение (3.1). Его решение, переходящее при  $K, \nu \rightarrow 0$  в  $\Phi(x, kU'(z - z_0)/U, \lambda)$ , будет иметь вид (3.2).

В разд. 4 было показано, что для формирования критического слоя требуется  $\theta \sim 2(\text{Ri} + 1)^{1/6}$ , т. е.

$$x \sim 2U(kU')^{-3/2} \nu^{-1/2} (\text{Ri} + 1)^{1/6} \quad (5.4)$$

Оценим необходимую дистанцию для двух рассмотренных выше примеров. В условиях шельфа  $U \sim 0,5$  м/с;  $U_z' \sim 0,01$  с<sup>-1</sup>,  $k \sim 0,02$  м<sup>-1</sup>,  $\nu = 10^{-6}$  м<sup>2</sup>/с. Из (5.8) следует, что здесь  $x \sim 30$  км. В атмосфере  $k \sim 4 \cdot 10^{-4}$  м<sup>-1</sup>,  $U_z' \sim 0,024$  с<sup>-1</sup>,  $\nu \sim 6,5$  м/с. Полагая  $U \sim 10$  м/с, получим  $x \sim 24$  км.

Эти оценки показывают, что в природных условиях формирование критического слоя под воздействием подветренных волн мало вероятно.

**6. Задача об установлении подветренных волн.** Рассмотрим решение уравнения (1.3), равное нулю при  $t < 0$  и удовлетворяющее при  $t > 0$  граничным условиям

$$\begin{aligned} w(t, x, 0) &= 0; & w(t, x, -H) &= 0, & x < 0, \\ w(t, x, -H) &= \exp i(k_0 x - \omega_0 t), & x > 0 \end{aligned} \quad (6.1)$$

Будем предполагать, что при некотором  $z = z_0$  имеем  $U(z_0) = c_\varphi = \omega_0/k_0$ .

Покажем, что если  $\omega_0$  в (6.1) не является стационарным значением ни одной из дисперсионных кривых  $\omega_n(k)$ , то решение задачи (1.3), (6.1) стремится при  $t \rightarrow \infty$  к построенному в разд. 5 гармонически зависящему от времени и удовлетворяющему принципу излучения решению (5.1) граничной задачи (1.7). Если же это условие не выполнено, то решение задачи (6.1) стремится при  $t \rightarrow \infty$  к бесконечности. Будет выделена растущая компонента этого решения.

Прямая выкладка показывает, что решение задачи (6.1) имеет вид

$$w(t, x, z) = \frac{1}{4\pi^2} \int_{-\infty}^{\infty} \frac{e^{ikh} dk}{k - k_0 - i0} \int_{-\infty + i\varepsilon}^{\infty + i\varepsilon} \frac{\exp(-i\omega t) v(\omega, k, z) d\omega}{(\omega - \omega_0) v(\omega, k, -H)} \quad (6.2)$$

где  $v(\omega, k, z)$  — обращающееся в нуль при  $z=0$  решение уравнения (1.4). Функция  $v(\omega, k, z)/v(\omega, k, -H)$  — аналитическая функция  $\omega$ , имеющая разрез на отрезке вещественной оси  $I_k: k \min U(z) < \omega < k \max U(z)$  и простые вещественные полюсы

$\omega = \omega_n(k)$ . Поэтому интеграл по  $\omega$  в (6.2) можно представить в виде суммы вычетов в нулях знаменателя и интеграла по  $I_k$ . При  $t \rightarrow \infty$  этот интеграл стремится к нулю; отбрасывая его, получим

$$\begin{aligned} w(t, x, z) \approx \frac{1}{2\pi i} \int_{-\infty}^{\infty} \frac{\exp(ikx)}{k - k_0 - i0} \left[ \sum_n e^{-i\omega_n(k)t} \frac{v(\omega_n, k, z)}{c_n(\omega_n(k) - \omega_0)} + \right. \\ \left. + e^{-i\omega_0 t} \frac{v(\omega_0 + i0, k, z)}{v(\omega_0 + i0, k, -H)} \right] dk \end{aligned} \quad (6.3)$$

Выражение в квадратных скобках — регулярированная функция  $k$ , так как полюсы отдельных слагаемых взаимно уничтожаются.

Предположим, что групповая скорость  $\partial\omega_n/\partial k$  при всех  $k = k_n(\omega_0)$ ,  $n=1, 2, \dots$ , не обращается в нуль. Тогда в интеграле (6.3) в окрестности каждого значения  $k = k_n(\omega_0)$  контур интегрирования можно сместить в область  $\text{Im } \omega_n(k) < 0$ , после чего интеграл

$$\sum_n \int \frac{\exp(ikx - i\omega_n(k)t) v(\omega_n, k, z) dk}{(k - k_0 - i0) c_n(\omega_n(k) - \omega_0)}$$

будет при  $t \rightarrow \infty$  стремиться к нулю, а оставшееся слагаемое, как легко видеть, совпадает с интегралом (5.1).

Пусть имеется номер  $m$ , для которого групповая скорость  $\partial\omega_m/\partial k = 0$  при  $k = k_m(\omega_0)$ . Покажем, что тогда интеграл (6.3) стремится при  $t \rightarrow \infty$  к бесконечности, и найдем растущую компоненту этого интеграла. Ограничимся для простоты случаем, когда  $\partial\omega_m/\partial k = 0$ , а  $\partial^2\omega_m/\partial k^2 \neq 0$ , т. е. когда

$$\omega_m(k) - \omega_0 = \alpha(k - k_m)^2 + O(k - k_m)^3$$

где  $\alpha \neq 0$ . Обозначим через  $g_m(k)$  бесконечно дифференцируемую функцию (нейтрализатор), равную единице в достаточно малой окрестности точки  $k = k_m$  и нулю в несколько большей окрестности этой точки. Положим

$$J_m = \frac{1}{2\pi i} \int_{-\infty}^{\infty} \frac{e^{ikh} g_m(k)}{k - k_0 - i0} \left[ \frac{e^{-i\omega_m(k)t} U(\omega_m, k, z)}{c_m(\omega_m(k) - \omega_0)} + \frac{v(\omega_0 + i0, k, z) e^{-i\omega_0 t}}{v(\omega_0 + i0, k, -H)} \right] dk$$

Разность  $J - J_m$ , где  $J$  — интеграл (6.3), стремится при  $t \rightarrow \infty$  к гармонически зависящему от  $t$  решению.

Интеграл  $J_m$  можно заменить модельным интегралом

$$J_m = \frac{\exp(-i\omega_0 t)}{2\pi i} \int_{-\infty}^{\infty} F(k) \frac{[\exp[-i(\omega_m(k) - \omega_0)t] - 1]}{\omega_m(k) - \omega_0} dk \approx$$

$$\approx J = \frac{\exp(-i\omega_0 t)}{2\pi i} \int_{-\infty}^{\infty} F_1(k) \frac{[\exp(-i\alpha(k - k_m)^2 t) - 1]}{(k - k_m)^2} dk$$

$$F_1(k) = e^{ikx} \frac{v(\omega_0, k, z)}{(k - k_0)\alpha c_m}$$

Можно доказать, что асимптотика  $J$  при  $t \rightarrow \infty$  имеет вид

$$J \approx d_{-1} \sqrt{t} + d_0 + \sum_{n=1}^{\infty} d_n t^{1/2-n}$$

$$d_{-1} = \frac{i}{\sqrt{\pi}} e^{-\pi i/4 \operatorname{sign} \alpha} \sqrt{|\alpha|} F_1(k_m) e^{-i\omega_0 t}$$

Поэтому при наличии моды  $v_m$ , для которой  $\partial\omega_m/\partial k = 0$  при  $k = k_m$  и  $\omega_m(k) = \omega_0$ , решение задачи (6.1) растет при  $t \rightarrow \infty$  как  $\sqrt{t}$ . Если же при  $k = k_m$  групповая скорость имеет нуль более высокого порядка:  $\partial\omega_m/\partial k = O(k - k_m)^p$ , то  $w(t, x, z)$  растет при  $t \rightarrow \infty$  как  $t^{p/(p+1)}$ .

Результаты, полученные в разд. 5, 6, допускают простую физическую интерпретацию. Энергия, вносимая в среду колебаниями (6.1) границы, приводит к возбуждению не только вынужденных, но и свободных колебаний (собственных мод) частоты  $\omega_0$ . Если же все возбуждаемые моды имеют ненулевую групповую скорость, то одновременно с подкачкой энергии при малых  $x$  каждая мода уносит получаемую энергию; процесс устанавливается и предельное решение при  $|x| \rightarrow \infty$  состоит из суммы уносящих энергию мод и, при  $x \rightarrow \infty$ , из вынужденного колебания. Если имеется возбуждаемая мода с нулевой групповой скоростью, то получаемая этой модой энергия может уходить на бесконечность лишь за счет относительно слабых дисперсионных эффектов (обусловленных нелинейной зависимостью  $\omega$  от  $k$ ) и поэтому ее амплитуда будет расти как  $\sqrt{t}$ .

**7. Об отсутствии собственных мод с критическим уровнем.** Докажем, что если выполнено условие устойчивости (1.4) Майлса, то собственные колебания не могут иметь критических уровней, т. е. что равное нулю при  $z=0$  решение  $v(\omega_0, k, z)$  уравнения (1.3), определенное как аналитическое продолжение из области  $\operatorname{Im} \omega_0 > 0$ , не может при  $k \min_z U < \omega_0 < k \max_z U$

обращаться в нуль при  $z = -H$ .

Доказательство будем проводить от противного: допустим, что собственная функция  $v(\omega_0, k, z)$  имеет критический уровень  $z = z_0$ , и докажем, что тогда малой вариацией  $N^2(z)$  собственное число  $\omega_0$  можно вывести в комплексную область, что запрещено условием Майлса.

Пусть сперва  $\omega_0$  — простое собственное значение:  $v(\omega_0, k, -H) = 0$ , но  $\partial v(\omega_0, k, -H)/\partial \omega \neq 0$ . Дифференцируя (1.4) по параметру  $\omega$ , получим уравнение для функции  $\psi(z) = \partial v(\omega_0, k, z)/\partial \omega$ ; условие разрешимости этого уравнения запишем в форме  $(L_0(\omega, k, z, \frac{\partial}{\partial t}) - \text{оператор (1.3)})$

$$\frac{\partial v(\omega_0, k, -H)}{\partial \omega} \frac{\partial v(\omega_0, k, -H)}{\partial z} (\omega - kU(-H))^2 = \int_{-H}^0 v \left( \frac{\partial L_0}{\partial \omega} v \right) dz \quad (7.1)$$

Если  $\partial v(\omega_0, k, -H)/\partial \omega \neq 0$ , то интеграл в правой части (7.1) также не равен нулю.

Проварьируем  $N^2(z)$ , полагая  $N^2(z) = N_0^2(z) + \delta N_1^2$ . Будем искать решение возмущенного уравнения в виде  $v + \delta v_1 + \dots$ , а собственное число  $\omega$  — в форме  $\omega = \omega_0 + \delta\omega_1 + \dots$ . Из условия разрешимости уравнения для  $v_1$  получим

$$2\omega_1 \int_{-H}^0 v \left( \frac{\partial L_0}{\partial \omega} v \right) dz = k^2 \int N_1^2 v^2 dz$$

Интеграл  $J_0$ , стоящий в левой части этого выражения, согласно (7.1), не равен нулю. Поведение  $v$  вблизи критического уровня  $z = z_0$  изучено в [2] (см. также [1]), в частности  $v$  принимает при  $z \approx z_0$  комплексные значения с не равным константе аргументом. Поэтому можно найти такое  $z_1$ , что  $\text{Im}(J_0^{-1}v(z_1)) \neq 0$ . Выбирая вариацию  $N_1^2$  сосредоточенной вблизи  $z_1$ , получим, что  $\text{Im} \omega_1 \neq 0$ , т. е. выведем собственное число  $\omega = \omega_0 + \delta\omega_1 + \dots$  в комплексную область, что запрещено условием Майлса.

Случай собственного числа кратности  $m > 1$  сводится к рассмотренному, так как нетрудно указать малую вариацию  $N^2(z)$  и  $U(z)$ , переводящую это собственное число в  $m$  простых собственных чисел.

#### СПИСОК ЛИТЕРАТУРЫ

1. Миропольский Ю. З. Динамика внутренних гравитационных волн в океане. Л.: Гидрометеиздат, 1981. 302 с.
2. Miles J. W. On the stability of heterogeneous shear flows // J. Fluid Mech. 1961. V. 10. № 4. P. 496–508.
3. Booker J. R., Bretherton F. P. The critical layer for internal gravity waves in a shear flow // J. Fluid Mech. 1967. V. 27. № 3. P. 513–539.
4. Brown S. N., Stewartson K. On the nonlinear reflection of a gravity wave at a critical level. Pt 2 // J. Fluid Mech. 1982. V. 115. P. 217–230.
5. Hazel P. The effect of viscosity and heat conduction on internal gravity waves at a critical level // J. Fluid Mech. 1967. V. 30. № 4. P. 775–784.
6. Справочник по специальным функциям с формулами, графиками и математическими таблицами/Под ред. М. Абрамовица, И. Стиган. М.: Наука, 1979. 830 с.
7. Лайтхилл Дж. Волны в жидкостях. М.: Мир, 1981. 598 с.
8. Fritts D. C., Geller M. A. Viscous stabilization of gravity wave critical level flows // J. Atmos. Sci. 1976. V. 33. № 12. P. 2276–2284.
9. Bell T. H. Effects of shear on the properties of internal gravity wave modes // Dtsch. hydrogr. Z. 1974. B. 27. № 2. S. 57–62.

Москва

Поступила в редакцию  
7.VII.1988.